

長波の研究用造波装置とその特性について

東北大学工学部 岩崎敏夫
東北大学大学院 ○楊 沢民

§1. まえがき；

長波の模型実験において、造波部分に達する反射波の擾乱を消去するための自動制御装置とその特性について、昨年十二月仙台で開催された、第十三回海岸工学講演会で、その第一報を発表したが、今回は、津波水槽流入端における流入量“ g_2 ”と、その奥における水位変化量“ η ”との関係を示す伝達関数“ $K(S)$ ”に関する実験と、前回えら水大理論との対応について、現段階までの研究経過を報告する。

§2. 流量～水位伝達関数“ $K(S)$ ”；

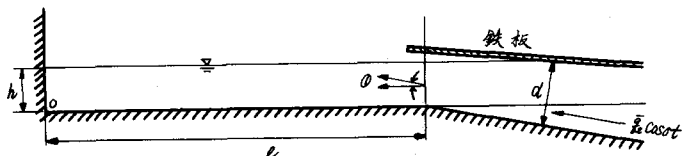
図-I のように、巾 b 、長さ l 、初期水深 h の津波水槽の一端 A より、 $g_2 = \bar{g}_2 \cos \omega t$ なる流量が、入する場合、奥 A において、その水平速度を表わすものとして、

$$\begin{aligned} U_h &= \frac{\bar{g}_2}{bd} \cos \omega t \\ &= \frac{\bar{g}_2}{bd} \cos \omega \cdot \cos \omega t \\ &= a \cos \omega t \end{aligned}$$

図-I 水槽流入端と津波水槽

なる式を与え、奥 O において、全反射するとして、摩擦を無視した、水路巾一定の長波の運動方程式を用ひ、Stockes の方法によつてとけば、奥 A における水面変化量“ η ”

について次の式をうる。(第十三回海岸工学講演会講演集 P 233 参照)



$$\eta = \bar{g}_2 A_m \left(\frac{d\bar{g}_2'}{dt} - \frac{d\bar{g}_2}{dt} \right) \quad (1)$$

$$A_m = (-1)^m \frac{2h \cos \omega}{ebd} \frac{(\eta/m)^2}{1 - (\eta/m)^2} \quad (m=1, 2, 3, \dots) \quad (2)$$

$$\bar{g}_2' = \bar{g}_2 \cos \omega t \quad (3)$$

$$\eta = \frac{cm \pi}{e} \quad C = \sqrt{gh} \quad (4)$$

これをラプラス変換すれば、流量～水位伝達関数“ $K(S)$ ”は次の式で表わされる。

$$K(S) = \frac{H}{Q} = \frac{2h \cos \omega}{ebd} \sum (-1)^m \frac{S^m \eta^2}{S^2 + \omega^2} \quad (5)$$

ただし、 H 、 Q 、 S は、半水半波 η 、 g_2 、ラプラス変換および量である。本論文においては“ g_2 ”と“ η ”の測定を行ない、式(5)における共振波の基本波、 $m=1$ の場合の数値計算値と

比較した。

§3. 基本波のボード線図；

$\ell = 20m$, $b = 5m$, $d = 0.5m$, $h = 0.3m$, $\theta = 16.4^\circ$ とおき K , $\cos \theta = \cos 16.4^\circ = 0.96$, さらに,
(4) 式より, $C = \sqrt{gh} = \sqrt{9.8 \times 0.3} = 1.71\text{m/s}$ 「 方子のT 」, ここで $T = 1$ に対し.

$$\sigma_1 = \frac{Cm\pi}{\ell} = \frac{1.71 \times 3.14}{20} = 0.27 \frac{\text{rad}}{\text{sec}} \quad (6)$$

$$K(s) = \frac{2b \cos \theta}{\ell b d} \sum (-1)^m \frac{s \sigma_1^2}{s^2 + \sigma_1^2} \\ = \frac{-2 \times 0.3 \times 0.96}{20 \times 5 \times 0.5} \cdot \frac{0.27^2 s}{s^2 + 0.27^2} = -8.4 \times 10^{-4} \frac{s}{s^2 + 0.0729} \quad (7)$$

「 方子のT 」(前報における(45)の数値をここで訂正する。)

さて、自動制御理論によると、入出力信号の関係は、実験的に、インディシヤル応答と、周波数応答によって、その特性が解明されるのが常で、ときに、本制御装置においては、后者の周波数応答、すなわち周波数領域における、正弦波入力に対する応答が、解析上必要かつ十分条件となるので、式(7)にオイザウア、周波数応答のボード線図をえかきだし、后節でのべき実験値との比較検討を行なう資料とした。

ここで、式(7)の“ s ”を“ $j\omega$ ”におきかえれば、次のような式で示される。

$$K(j\omega) = -8.4 \times 10^{-4} \frac{j\omega}{0.0729 - \omega^2} \quad (8)$$

$$\therefore 20 \log |K| = 61.52 + 20 \log |\omega| - 20 \log |0.0729 - \omega^2| \quad (9)$$

$$\angle K = -90^\circ \quad \omega < 0.27. \\ +90^\circ \quad \omega > 0.27. \quad (10)$$

式(9)より、周波数応答の“ゲイン曲線”をえかくべくしてみた。
その右辺第一項は卓越項であり、全曲線の数値に大きな影響がある。また、第三項より、

$\omega = 0.27$ において、共振部分が存在する。式(10)は“位相曲線”が常に位相差 $\pm 90^\circ$ の値に亘つての子で示す。

以上の解析から、明らかのように、基本波の力を考慮するべく、若干の高調波をふくめて、計算すれば、ゲイン曲線について、さらに多くの、特定の周波数 ($\omega = 0.27 \frac{\text{rad}}{\text{sec}}$ の整数倍をさす。) の位置に、共振部分が存在する。ただし、位相曲線は、常に “ $\pm 90^\circ$ ” の角度に保つことを容易に理解しうる。

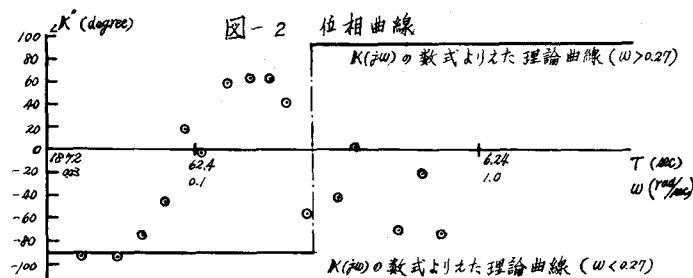


図-2 位相曲線

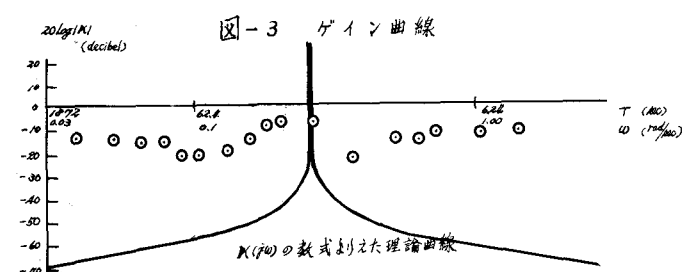


図-3 ゲイン曲線

図-2 および図-3 は、共振状態 $m=1$ の時の“位相曲線”と“ゲイン曲線”的計算曲線を実線で示した。

4. 実験

前報にちりて述べた、長波の研究用造波装置を用い、津波水槽における水位のフィードバックを今しばらく行なわせた。津波水槽に正弦波をあたさせるために、ロートバルブの開度を $50\sim90^\circ$ の間にかけて、プログラムのカムの正弦波にそって変化させた。前報の図-10からわかるように、この開度間にかけた流量係数と開度の関係を表す C への曲線は、直線で表わされるので、流量係数 “ C ” も正弦波で変化をさせていくと考えてよい。また前報の図-8 で解析した、水理系伝達関数 “ G ” は、流量係数 “ C ” を入力、津波水槽への流量 “ q ” を出力としている。今の場合、入力を正弦波に動かしてるので、その出力は周波数応答に該当し、前報の図-13 および図-14 の位相曲線とゲイン曲線の関係から、出力 “ q ” の位相と振巾を、数值計算で求めよう。このようにして、周期または周波数を色々えて、そのための “ q ” の位相と振巾を、プログラムの変化の記録、すなわち流量係数 “ C ” の変化の記録より、 $G(q)$ を通じて算出し、 $G(q)$ の周波数応答を調べた実験の際の入力の位相とよび振巾を測定した。

一方、図-1 の津波水槽入口の測点 A において、ストレンゲーチを貼布した圧力計によって、水位変化量 “ η ” を同時に記録することにより、その振巾、位相を調べ、本実験における出力の位相とよび振巾を測定した。

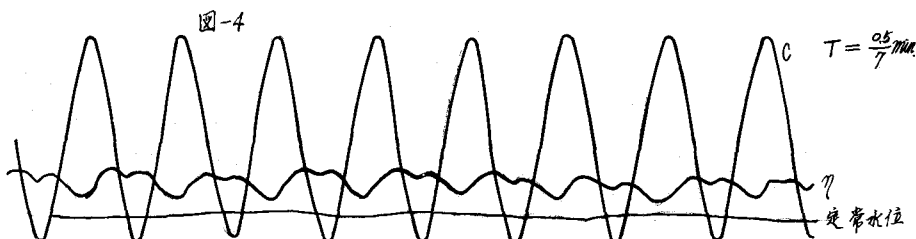
以上の実験方法を用ひれば、出、入力の位相差、および振巾比が最終的に求められるので、各周期ごとに、または各周波数ごとの位相差と振巾比の実験値をえらぶ。ここで、前者は $G(q)$ の位相曲線に対比し、また振巾比をデシベル単位に換算したものを、ゲイン曲線に対比したら、理論的数值計算による位相曲線とゲイン曲線を、それより実験値と比較することができる。

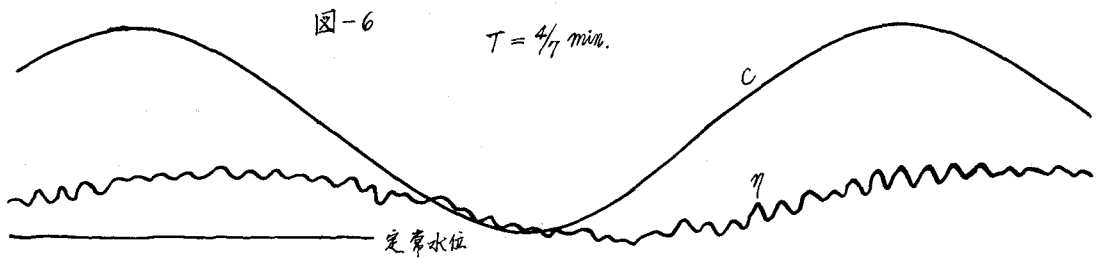
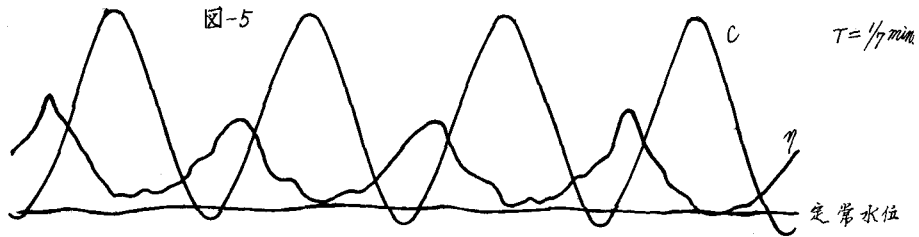
本実験で用いた正弦波の周期は：

$$\begin{aligned} & \frac{0.5}{7} \text{ min}, \frac{1}{7} \text{ min}, \frac{2}{7} \text{ min}, \frac{4}{7} \text{ min}, \frac{8}{7} \text{ min}, \\ & \frac{0.5}{5} \text{ min}, \frac{1}{5} \text{ min}, \frac{2}{5} \text{ min}, \frac{4}{5} \text{ min}, \frac{8}{5} \text{ min}, \\ & \frac{0.5}{3} \text{ min}, \frac{1}{3} \text{ min}, \frac{2}{3} \text{ min}, \frac{4}{3} \text{ min}, \frac{8}{3} \text{ min}, \\ & 1 \text{ min}, 2 \text{ min}, 4 \text{ min}, 0.5 \text{ min}, \end{aligned}$$

の合計 19 種類に達している。

図-4、図-5、図-6 は、高水槽入口の水位変化量 “ η ” とその定常水位、およびプログラム波形に関する記録の一部である。





諸図中の定常水位は、ロートバルブの開度を 70° に固定し、ポンプを運転して定常状態に落ちた後、記録をとったものである。実験のありには、この後で、前に述べた操作、すなわちロートバルブの開度を 50° から 90° 間で正弦波形に変化させるのであるが、考察よりこの定常水位は、水位変化量 " η " の波形の中心線と一致しなかつ。

η の意味するところは、津波水槽への流入量と流出量が均一でないことを示している。水理系造波装置における津波水槽と 600mm^2 鉄管を連結する部分として、 100mm^2 鉄管 10 本が配置されている。これら等の鉄管の有效流量断面が縮小する事により、津波水槽から流出するよりは、流入するより多く、まろかに大きい抵抗を受けることが推定されるので、運転中の平均水位か、定常水位より高いがることを予期しうる。しかし、前報の解析においては、この流出、流入受け抵抗の大きさを同一視して、問題の單純化をはかった。今后さらに研究をすすめるありには、其の差異による影響を考慮して解析すべきである。本実験のデーター整理の上では、かけ上 " η " 波形より、其の位相と振巾を求め、前述の方法にそりて、各周期ごとの実験値をえた。これら等の実験値を図-2、図-3 は自れで示した。計算値と比較すれば、ずつぶる大きな誤差の存在が認められる。此等詳しい原因はまほ検討中であるが、その原因の一として、実験値に高調波の成分が入っていることが考えられるので、基本波のみで解析することは、無理があると思われる。

§5. 結び；

水理系伝達関数 $G(S)$ 、および流量～水位伝達関数 $K(S)$ の解説を完成すれば、別御要事に当る $G(S)$ とあわせて、本装置の総合伝達関数をうれるわけであるが、今のところ $K(S)$ の解説における、第一線図の理論と実験値に大きな開きがあることは、§4 におけるべた通りである。この点についてさらに検討を加え、次の機会に発表したい。最後に本研究は昭和 41 年度文部省科学試験研究“津波の湾内変形に関する研究”の助成を得て行なわれた。ここに記して謝意を表したい。